

氧化物陰極中的物理現象

C. B. 普奇真

科学出版社

氧化物陰極中的物理現象

C. B. 普 奇 真 著

毛振珠 劉學慈 李小瓊 等譯
陶肅樟 吳兆麟 叶毓林

沈 庆 琪 校訂



內 容 提 要

本書敘述了氧化物陰極中的物理現象，并且着重地敘述了苏联近年来在氫化物陰極方面的研究成果，但对热电子發射理論和半导体理論講得比較少，因为作者認為這兩方面讀者都已經具有一定知識了。讀了这本書后可以对氫化物陰極的性質和制备有所了解。

三〇二/一四

目 录

| | |
|------------------------------|-----|
| 导 言 | 1 |
| 第一章 氧化物陰極的發射性質 | 3 |
| § 1 半導體的熱電子發射 | 3 |
| § 2 应用在工業中的陰極的类型 | 11 |
| § 3 氧化物陰極的構造 | 15 |
| § 4 氧化物陰極發射的測量 | 22 |
| § 5 氧化物陰極塗層的激活 | 22 |
| § 6 氧化物陰極的脈冲發射 | 36 |
| § 7 氧化物陰極的中毒 | 38 |
| § 8 氧化物陰極塗層溫度的情況 | 49 |
| 第二章 氧化物陰極的物理性質 | 59 |
| § 9 氧化層的電導率和內逸出功 | 59 |
| § 10 氧化物陰極的電花現象 | 67 |
| § 11 氧化物陰極的次級電子發射 | 70 |
| § 12 光的照射對氧化物陰極工作情況的影響 | 78 |
| 第三章 氧化物陰極的製造 | 84 |
| § 13 陰極心子 | 84 |
| § 14 热子 | 89 |
| § 15 氧化物陰極的塗層 | 93 |
| § 16 氧化物陰極的壽命 | 103 |
| § 17 氧化物陰極的發射常數 | 106 |
| 參考文獻 | 109 |
| 俄中人名对照表 | 111 |
| 中俄專門名詞对照表 | 112 |

导　　言

用鹼土金屬鋯、錳、鈣的氧化物做成的热电子源泉称做氧化物陰極，它比其他大家所熟悉的陰極都优越。工作温度低（750—850°C），使得这种陰極最为經濟，并且，利用鎳做它的基底，可以做成任何形狀。

大部分近代的电子器件都几乎非用氧化物陰極不可，因而，电子和离子器件的質量进一步的發展和改善，就跟我們对陰極結構和在陰極中所發生的过程的知識的完备与否有着密切的关系。

不久以前，有关陰極工作機構的理論知識一直处在很低的水平，与陰極的制造技术之間还有着很大的距离。

工厂的实践，从經驗中选定了制备陰極的条件。千百万只管子的生产經驗成功地确定了陰極塗料的配方和选定了保証电子器件具有較好电參量的陰極加工規范。

慢慢地、逐步地确定了陰極心子材料的最好參量，研究出了塗料的成分，并且确定了陰極塗佈、排气和激活的最好方法。格沃茲多夫、維辛斯基、伊凡諾夫以及其他人士所完成的艰巨的工作是有成果的。年复一年地、慢慢地減低了氧化物陰極的电子逸出功，如果說逸出功在1929年是2.5电子伏特左右，那么現在它已不超过1—1.2电子伏特了。同时还大大地縮小了參量的零散，并且提高了工作过程中管子性能的穩定度。

改进陰極的工作获得如此显著的成就，使得氧化物陰極慢慢地能到处适用；無論对充气管或者对真空管，它都是最适用的。制造小加热电流（50—60毫安）的和大加热电流（50—60安）的直热式陰極的可能性被肯定了。在工作温度下，陰極本身和热子之間具有几个兆欧絕緣电阻的等电位間热式陰極的制造技术被研究出

1466156

來了。間熱式陰極的尺寸和形狀可能加以大大的改變。具有氧化物塗層的圓筒形、平板形、肋翅形和點形的電子源都已獲得了實際的应用。

氧化物陰極可以做成各種不同的形狀，再加上它在同一類管中質量的十分均一，它的使用期限比較長和它在工作期中參量很穩定，使得氧化物陰極逐漸地排擠了其他類型的電子源。在最近15年內，氧化物陰極的運用一直壓倒其他陰極。

在工作中，與成功同時，也常常遇到失敗。它們主要是由於陰極的電子發射不穩定，使管子的廢品增多，並且由於關於陰極工作的理論知識不足，大大地降低了與廢品率鬥爭的效果。

近幾年來，情況開始改變。由於工廠試驗室和研究所試驗室完成了對氧化物陰極性質的大量研究，使得陰極在管子里工作期中所發生的過程更可理解了。進一步提高陰極效率和減低大量生產電子器件時的廢品率所應走的途徑開始明確起來了。

1949年初，赫爾曼和瓦格奈爾所著專論“氧化物陰極”^{*}的俄譯本出版了^[2]。在該書中讀者可以看到，對作為氧化物陰極近代理論基礎的物理和化學方面的詳盡的敘述。但是在赫爾曼和瓦格奈爾所著的書中，雖然B. M. 查廖夫作了補充，對蘇聯學者們的工作敘述得還是不夠的。

由於這個緣故，在本書中認為熱電子發射理論和半導體理論的一般性問題是大家都知道的了，而主要着重在闡述近年來蘇聯在氧化物陰極方面的研究成果。

氧化物陰極問題的研究不但離結束還早，而且研究的範圍還在不斷擴大。可以認為很多問題，特別是關於氧化物陰極在脈沖狀態下工作的問題，才剛剛被提出。這些問題的闡述作者認為是有討論余地的。

* 該書上冊已由南京工學院沈慶核教授譯成中文——譯者註。

第一章

氧化物陰極的發射性質

§ 1. 半導體的熱電子發射

氧化物陰極是由鈣土氧化物：氧化鋯，氧化鋨，有時還有氧化鈣混合組成的。這些氧化物在純淨狀態具有較大的電阻，這相當於在最末滿帶 N 和導帶下緣 ε_0 之間有較大的距離（圖 1）。

在陰極制備過程中激活陰極的目的，在於使陰極塗層的內部和表面上產生富余的鋯原子雜質。圖 1 中附加的能級 ε_a 就相當於雜質鋯原子的價電子。這一能級要比滿帶的上緣 ε_N 異導帶的下緣 ε_0 低得多。

結果，在加熱時，電子有可能從局部的雜質能級過渡到導帶，使導帶內產生一定的自由電子濃度 n_0 ，這些電子能夠參與半導體的導電作用。激活作用就是這樣把鈣土金屬的氧化物由絕緣體變為典型的電子半導體的。

電子由局部的雜質能級過渡到導帶需要克服相當於 ε_a 與 ε_0 之間的距離的位檻。這只有那些处在局部能級上的電子在獲得了足夠的能量後才能夠過渡。

根據費米統計法，速度在 v_x 到 $v_x + dv_x$ ， v_y 到 $v_y + dv_y$ ，和 v_z 到 $v_z + dv_z$ 范圍內的電子數目 $dn(v)$ 等于

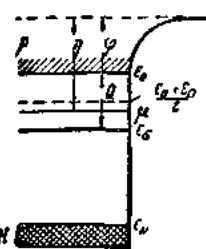


圖 1 氧化物陰極的能級
 N —最末滿帶； ε_N —滿帶上緣的能級； ε_a —雜質原子的局部能級； p —導帶； ε_0 —導帶的下緣； μ —化學勢能級。

$$dn(\mathbf{v}) = \frac{m^3 G}{h^3} \frac{d\nu}{e^{\frac{\epsilon - \mu}{kT}} + 1} = -\frac{d\nu}{e^{\frac{\epsilon - \mu}{kT}} + 1}, \quad (1.1)$$

其中 h 是蒲朗克常数, k 是玻耳茲曼常数, T 是絕對溫度, $G=2$; $d\nu = dv_x \cdot dv_y \cdot dv_z$ 是电子在速度空間中的体积元, ϵ 是对应于速度为 \mathbf{v} 的电子的能量, μ 是称为化学勢能級或費米能級*. 如所週知, 在金屬中能級 μ 常位于导帶里, 它相当于 $T=0$ 时电子的最大能量值, 而且这能級的位置与溫度的关系是这样小, 以致在第一級近似中这个关系可以忽略。在电子半导体中能級 μ 常位于局部的杂质能級 ϵ_0 与导帶下緣 ϵ_b 之間, 而且它的位置与溫度有很大的关系。

方程式(1.1)中的乘数 $\frac{1}{e^{\frac{\epsilon - \mu}{kT}} + 1}$ 确定电子在溫度 T 时, 具有

能量 ϵ 的几率, $d\nu = \frac{m^3 G}{h^3} d\nu$ 是在 1 立方厘米的半导体中对应于上述电子速度範圍內的可能的电子状态数。

在现有情况下, 可以分能量差 $(\epsilon - \mu)$ 为兩部分:

$$(\epsilon - \mu) = (\epsilon - \epsilon_0) + (\epsilon_0 - \mu),$$

其中第一部分把在导帶中的, 也就是处在高于能級 ϵ_0 中的电子的动能 $\epsilon - \epsilon_0 = \frac{mv^2}{2}$ 分离出来。

上面我們已經指出过, 所有半导体的特征是 $\epsilon_b - \epsilon_0 = Q$ 的值比較小。虽然如此, 事实上数值 Q 的本身以及这数值的兩個部分 $\epsilon_0 - \mu$ 与 $\mu - \epsilon_0$ 都远大于数值 kT 。因此在所有情况下可以認為 $\frac{\epsilon_0 - \mu}{kT} \gg 1$ 及 $\frac{\mu - \epsilon_0}{kT} \gg 1$ 。

* 所有能值 $\epsilon, \epsilon_0, \epsilon_\sigma, \mu$ 等等都是由同一能級算起, 例如由最末滿帶 N 的上緣 ϵ_N 算起。

在这些假定条件下，方程式(1.1)的分母中的1跟指數項
 $e^{\frac{\varepsilon-\mu}{kT}}$ 相比可以略去，这时費米分佈定律轉变为麦克斯韋分佈定律：

$$dn(\mathbf{v}) = n_0 \left(\frac{m}{2\pi k T} \right)^{3/2} e^{-\frac{mv^2}{2kT}} dv, \quad (1.2)$$

其中 $n_0 = \int dn(\mathbf{v})$ 是在导带中电子的总数。关于 n_0 的表示式可直接由比較(1.2)与(1.1)来得到（在 $\frac{\varepsilon_0 - \mu}{kT} \gg 1$ 时），如果考慮 $\frac{mv^2}{2} = \varepsilon - \varepsilon_0$ ：

$$n_0 = \frac{G_\sigma}{h^3} (2\pi m k T)^{3/2} e^{-\frac{\varepsilon_0 - \mu}{kT}}. \quad (1.3)$$

为了消去 n_0 的表示式中的 μ ，也就是为了获得 n_0 与 T 之間明显的关系，我們另外利用这个关系： n_0 等于杂质原子中的全部价电子与在温度 T 时留在局部能級 ε_σ 中的电子的差数。

如果在1立方厘米半导体中杂质的原子数等于 n_σ ，而这些原子的原子价等于 G_σ ，則在局部能級 ε_σ 中电子状态的总数是 $n_\sigma G_\sigma$ 。

假如在方程式(1.1)中，以 ε_σ 代 ε ，而以 $n_\sigma G_\sigma$ 代 dv ，就可以得到在温度 T 时留在局部能級上，也就是具有能量 ε_σ 的电子的几率：

$$\frac{n_\sigma G_\sigma}{e^{\frac{\varepsilon_\sigma - \mu}{kT}} + 1}.$$

再假定 $\frac{\varepsilon_\sigma - \mu}{kT} \gg 1$ ，我們得到

$$n_0 = n_\sigma G_\sigma - \frac{n_\sigma G_\sigma}{e^{\frac{\varepsilon_\sigma - \mu}{kT}} + 1} = n_\sigma G_\sigma e^{-\frac{\mu - \varepsilon_\sigma}{kT}}. \quad (1.4)$$

比較(1.3)與(1.4)可以得到化學勢能級的表示式：

$$\mu = \frac{\varepsilon_0 + \varepsilon_\sigma}{2} - \frac{1}{2} kT \lg \left[\frac{G}{G_\sigma} \frac{(2\pi m k T)^{3/2}}{n_\sigma h^3} \right], \quad (1.5)$$

由此可見，在 $T=0$ 時這個能級位於 ε_0 與 ε_σ 的正中間，而在 $T>0$ 時則要下移(圖1)。

現在以 μ 的表示式(1.5)代入(1.3)，並根據圖1令 $\varepsilon_0 - \varepsilon_\sigma = Q$ ，就得到所找的 n_0 與 T 的明顯關係：

$$n_0 = n_\sigma^{1/2} \left[G G_\sigma \frac{(2\pi m k T)^{3/2}}{h^3} \right]^{1/2} e^{-\frac{Q}{2kT}}. \quad (1.6)$$

方程式(1.6)的指數因子中引用的 $\frac{Q}{2}$ ，我們今后將稱之為內逸出功。

半導體的電子電導率 σ 正比於自由電子數 n_0 和它們的遷移率。而後者在溫度改變時變化較小，因此跟 T 的關係完全決定於方程式(1.6)。

(1.6)式中指數前的乘數 $T^{3/2}$ 的影響很小，可以略去，這樣得到 σ 與溫度的關係式：

$$\sigma = \sigma_0 e^{-\frac{Q}{2kT}}. \quad (1.7)$$

因此在研究電導率 σ 隨溫度變化的過程中，就有可能確定內逸出功 $\frac{Q}{2}$ 。

為了要產生熱電子發射，也就是要由半導體蒸發出電子，必定要有一部分接近陰極表面而在局部能級 ε_σ 上的電子在陰極加熱時獲得能量 $\varepsilon \geq \varepsilon_0 + \varphi$ 。這樣的電子不僅可能過渡到導帶，並且可能克服附加的位檻 φ 而跑出半導體的點陣範圍。為此，另外還需要電子速度的垂直分量 v_z 滿足條件 $v_z > v_0$ ，其中 $\frac{mv_0^2}{2} = \varphi$ 。我們在

以后將稱數值 φ 為外逸出功。其餘兩個速度分量 v_x 和 v_y 可以為任何數值。

電子由半導體表面蒸發出去後，留下的空位將立刻為新電子所補充。這個過程保證半導體具有足夠大的電子電導率。直到現在為止，從未發現過半導體內的電子平衡遭到破壞。甚至在氧化物陰極脈衝發射的情況下蒸發的電子流密度達到50安/厘米²，也觀察不到陰極表面缺乏電子。

決定熱電子發射的電流密度，可以利用下列表示式：

$$I = e \int_{-\infty}^{+\infty} dv_x \int_{-\infty}^{+\infty} dv_y \int_{v_0}^{+\infty} v_z dn(\mathbf{v}),$$

式中發射電流是電子電荷 e 和單位時間內從1平方厘米表面蒸發出來的電子數的乘積。在這裡 $dn(\mathbf{v})$ 用表示式(1.1)代入，同時進行積分[從該式的積分極限來看，實際上可以不用(1.1)而用(1.2)—(1.3)代入]，得到：

$$I = eG \frac{2\pi m k^2}{h^3} T^2 e^{-\frac{\eta}{kT}} = AT^2 e^{-\frac{\eta}{kT}}, \quad (1.8)$$

其中 $\eta = \varepsilon_0 + \varphi - \mu$ (圖1)。

公式(1.8)的形式跟著名的用于金屬熱電子發射的道舒曼公式很相似。其主要差異是金屬的 η 值實際上等於外逸出功 φ 。溫度對金屬的 $\eta = \varphi$ 的數值的影響非常微弱，在任何情況下，溫度每改變1°C， η 的改變不超過10⁻³%。

公式(1.8)用于半導體，跟表示式(1.3)用于求導帶中的電子數 n_0 一樣，都是不方便的。根據(1.5)式， μ 與 T 有很大的關係，因而在半導體的溫度增高時， η 有顯著的增長，結果逸出功 η 失去了它的明確性。因此只在氧化物陰極跟金屬陰極作比較時，才利用公式(1.8)來描述氧化物陰極的發射性質。

为了除去 η 随 T 而变的关系，我們以(1.5)代入(1.8)，这时發射电流决定于方程式：

$$I = e n_0 \left(\frac{GG_o}{h^3} \right)^{1/2} (2\pi m k^5)^{1/4} T^{5/4} e^{-\frac{Q/2+\eta}{kT}} = \\ = BT^{5/4} e^{-\frac{\eta}{kT}}. \quad (1.9)$$

通常上式称为 $5/4$ 次方定律。方程式(1.9)中的总逸出功是由兩個部分相加的：即內逸出功 $-\frac{Q}{2}$ 和外逸出功 η 之和。这两个部分是表示着陰極性質的确定不变的数值，因为这两个数值与温度的关系十分微弱。

道舒曼公式(1.8)中的常数 $A = eG \frac{2\pi m k^2}{h^3}$ 为普适常数，等于 120.4 安/厘米²·度²。然而即使是純金屬，实际量得的 A 值总比这个数值大一些或小一些。例如大部分金屬的常数 A 的值都在 60 安/厘米²·度² 左右，但亦有个别的情况，例如：鎳，銻和鉑的常数 A 的值則远大于理論值。

假如考虑逸出功与温度間可能有的微弱的依賴关系，那么各种金屬的常数 A 值的不一致就能得到最好的解釋。事实上如果 $\eta = \eta_0 + \alpha T$ ，則方程式(1.8)变为

$$I = A e^{-\frac{\alpha}{k} T^2} e^{-\frac{\eta_0}{kT}}.$$

逸出功随温度增高而增大，即 $\alpha > 0$ 时，道舒曼公式中的实际常数 $A \times e^{-\alpha/k}$ 就要減小。反之，逸出功随温度升高而減小，即 $\alpha < 0$ 时，方程式(1.8)中的实际常数值就要高于理論值。

要使方程式(1.8)中的常数減小一半，即从 120 安/厘米²·度²

減小到 60 安/厘米²·度², 就必須使 $e^{-\alpha/k} = \frac{1}{2}$, 即 $\frac{\alpha}{k} = 0.7$, 或者, 我們以鈍為例, $\frac{\eta}{k} = 52000^\circ$, 就得到每 1° 的相對溫度系數 $\frac{\alpha}{\eta} = 1.35 \cdot 10^{-5}$, 這相當於溫度上升 1000° , η 增加 1.35% 。用近代的金屬電子理論能夠說明 η 與 T 之間存在着微弱的依賴關係。 $\alpha > 0$ 和 $\alpha < 0$ 的各種情況, 理論上都允許有存在的可能性。

關於敷鈍鈍陰極在方程式(1.8)中的常數值大約是理論值的 $\frac{1}{40}$, 而對氧化物陰極, 則是理論值的 $\frac{1}{1000}$ 到 $\frac{1}{10000}$ 。像這樣的 A 值的減小可以用陰極表面蒸發的電子遭受位壘的強烈反射來解釋。位壘的電子反射系數,也就是位壘的透射度 D 與電子速度有關。因此我們引用位壘的平均透射度 \bar{D} 這一概念。發射方程式(1.8)和(1.9)的常數中,必須以附加乘數的方式引進 \bar{D} ,而 \bar{D} 的值常小於 1。

諾特海姆^[2]曾經證明,純金屬表面上的位壘,反射電子的作用是十分微弱的。反射系數的平均值不超過百分之几。而位壘的平均透射度 \bar{D} 則等於 0.93。但對前面提到過的敷有塗層的陰極就完全是另外一回事。因為這些陰極的邊緣與真空之間的位壘轉變為形式更複雜的位壘。諾特海姆^[2]成功地證明了:敷鈍鈍陰極的常數 A 減小到 $1/40$,完全可以用位壘的平均透射度不超過 $D=0.025$ 來解釋。

這對於氧化物陰極同樣是正確的。利用方程式(1.8)描述它的熱電子發射的性質時,常數 A 的值在 10^{-2} 安/厘米²·度²左右,這跟這種陰極表面形成的位壘可能具有更小的透射度這一事實是完全一致的。

在這些情況下,當常數 A 的改變受位壘的透射度限制時,能够帶几分牽強地建立起方程式(1.8)中的逸出功 ψ 與常數 A 之間

的如下关系:

$$\lg A = \alpha\eta - b. \quad (1.10)$$

对于半导体陰極,方程式(1.9)中的常数 $B = cn_o^{1/2} \left(\frac{GG_o}{k^3} \right)^{1/2} \times (2\pi m k^5)^{1/4}$ 同样也决定于杂质原子的浓度。假如以数值代入 B 值的表示式中,同时認為氧化物陰極的 $G_o = 2$ (因为鉬的原子价等于 2),则得出:

$$B = n_o^{1/2} \times 2.3 \times 10^{-6} \text{ 安/厘米}^2 \cdot \text{度}^{5/4}.$$

一般說來,外逸出功 ψ 与內逸出功 $Q/2$,都應該決定于杂质原子的浓度 n_o 。这个关系在理論上不能够得到,但實驗材料指出,大部分半导体,特别是氧化物陰極(參閱 §9)的內逸出功 $Q/2$,在 n_o 增加时要減小。这相当于局部的杂质能級移近导帶的下緣 E_F 。

如果用縱坐标代表 $\lg I/T^2$ 或 $\lg I/T^{5/4}$,用横坐标代表 $1/T$,則(1.8)或(1.9)中的 I 与 T 的关系可以很方便地用圖形表示出来。这时所得到的直線称为李查生直線。各种工業用陰極的李查生直線的式样如圖 3 所示。显然,常数 A 的改变相当于直線的平移,而逸出功的改变则相当于直線斜率的改变。

假如逸出功 ψ 以尔格为單位,則直線的傾角 α (圖 3)的正切将等于:

$$\operatorname{tg} \alpha = \frac{0.4343}{k} \text{ 尔格},$$

其中玻耳茲曼常数 $k = 1.371 \times 10^{-16}$ 尔格/度。

假如 ψ 以电子伏特为單位,則

$$\operatorname{tg} \alpha = 5040 \psi \text{ 电子伏.}$$

在实际工作中,常常需要来相对地比較用在真空管中的陰極的質量。

主要的比較标准是發射电流值与陰極加热所消耗的功率 P_H 之比。但进行这种比較时,由于测量陰極温度困难(§4),李查生直

線無法利用(圖 3)。

假如近似地認為陰極的全部熱損耗都是由於熱輻射，則根據史蒂芬-波耳茲曼定律， P_H 與 T 之間應有如下的關係：

$$P_H = \epsilon\sigma T^4. \quad (1,11)$$

以(1.11)式中的 P_H 代替方程式(1.8)中的 T ，不可能直接得到像圖 3 中的直線。因此需要做出像圖 4 所示的特殊的格子紙，在這種格子紙中 I_s 與 P_H 成直線關係。利用這種格子紙不要任何的附加的計算，就可以得到各種不同陰極的發射性質的比較特性曲線。

工業上用作熱電子源泉的金屬的逸出功，要比氧化物陰極的逸出功大好幾倍。這就允許氧化物陰極的工作溫度遠低於其他陰極的工作溫度。這就是氧化物陰極的主要優點。這優點在設計電子管時是非常有價值的。

§ 2. 应用在工業中的陰極的类型

在電子器件中，實際上應用三種類型的陰極：鎢陰極，碳化的釤鈷鎢陰極及氧化物陰極。

為了實際上表征陰極的特性，我們引用陰極效率這一概念，陰極效率就是發射電流（以毫安為單位）跟加熱陰極所消耗的功率（以瓦特為單位）的比值。

鎢陰極的效率，決定於鎢絲的直徑和選定的使用期限，它的數值是在 2—10 毫安/瓦之間。這種陰極的工作溫度通常在 2300—2600°K 的範圍內（圖 2）。同時熱電子發射電流密度不超過 1 安/厘米²。因為鎢原子強烈蒸發將使陰極的使用期限大大縮短的緣故，所以進一步提高溫度是要受到限制的。

釤鈷鎢陰極具有較高的效率。這種陰極的製備法是在鎢粉壓縮並燒結成塊之前先加入 1—2% 的氧化釤，然後把這種混合物再用通常的方法拉成絲。

文献[4]中指出,如果在电解槽中,用电泳法来使氧化釔与鈮混合,者或把悬浮在丙酮中的釔粉粘附到預先經电解清淨过的鈮上,可以获得較好的發射性質。;

为了使陰極絲中的氧化釔易于还原为金屬釔,并且为了減低釔原子蒸發的速率,在陰極安装后进行陰極碳化。为此要把陰極在某种碳氯化合物(如苯,萘或乙炔)的低压蒸气中煅燒至 2000°K ,煅燒过程維持到陰極的电阻增加10—20%为止。

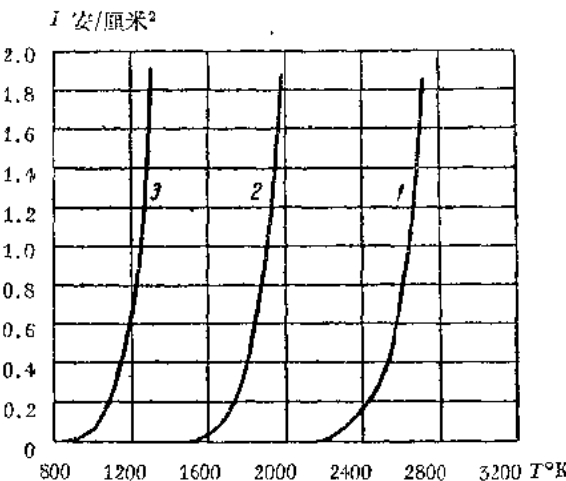


圖 2 發射电子流的密度与溫度的关系
1—鎢陰極;2—碳化的敷釔鎢陰極;3—氧化物陰極。

要使敷釔鎢陰極达到能工作的状态,必需进行激活。这个過程的目的在于使部分的氧化釔还原,并且在鎢的表面上形成釔的單原子層。这时逸出功就由純鎢的4.5 电子伏減低到2.7 电子伏。

在長期連續使用这种陰極时,它的工作溫度應該減低到 $1900-2000^{\circ}\text{K}$ (圖2),否則由于蒸發,釔的儲藏量会很快地耗尽。

在这些条件下, 陰極的發射率是2.75 安/厘米²。这种陰極的平均效率等于80—100 毫安/瓦。但这样大的效率只能在脉冲

狀態工作時加以利用，因為長時間從陰極吸收這樣大密度的電流，陰極表面的鈷原子要遭到殘余氣體離子的轟擊而使陰極迅速毀壞。因此陰極在靜態工作時，它的效率要減低到上述數值的 $1/10$ ，而保持在 6—8 毫安/瓦。

氧化物陰極的發射數值，遠遠超過上述兩種類型的陰極。現代激活得很好的氧化物陰極的逸出功約為 1 電子伏。這就使得能在工作溫度為 1000 — 1100°K ，效率為 5000 毫安/瓦時，得到 10—20 安/厘米²左右的電流密度。

氧化物陰極極容易感受到管內各種有害因素的作用，因此上述的電流密度和效率，只適用於脈衝狀態。在靜態下電流密度不應該超過 50—100 毫安/厘米²，對應的效率為 20—30 毫米/瓦。

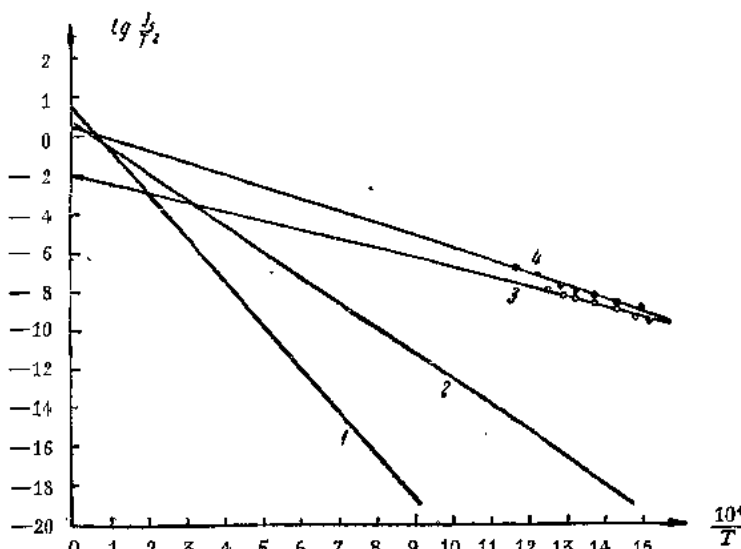


圖 3 李查生直線
1—鈷陰極；2—碳化的數鈷鈷陰極；3—氧化物陰極(靜態)；
4—氧化物陰極(脈衝狀態)。